

УДК 532.5.013.4:536.25

© 1997 г. Н.И. ЛОБОВ, С.В. ШКЛЯЕВ

## ВЛИЯНИЕ ДВИЖЕНИЯ ГРАНИЦ НА УСТОЙЧИВОСТЬ КОНВЕКТИВНОГО ТЕЧЕНИЯ В ВЕРТИКАЛЬНОМ СЛОЕ С ВНУТРЕННИМИ ИСТОЧНИКАМИ ТЕПЛА

Численно методом дифференциальной прогонки исследуется устойчивость течения жидкости в вертикальном слое, которое вызывается совместным действием внутренних источников тепла и встречным движением границ слоя. Определены численные характеристики неустойчивости в зависимости от параметров задачи (чисел Рейнольдса, Прандтля и волнового числа). Обнаружена достаточно сильная стабилизация конвекции в присутствии вынужденного течения.

Конвективные течения в отличие от чисто гидродинамических обладают более разнообразными механизмами потери устойчивости. Имеется несколько примеров, на которых показывается действие основных механизмов неустойчивости. К их числу принадлежит свободноконвективное течение в вертикальном слое, вызываемое равномерно распределенными в жидкости источниками тепла. Устойчивость этого течения исследовалась ранее (см., например, [1, 2]). В чисто гидродинамическом случае исследованы два нижних уровня неустойчивости [1]: первый уровень – четный (амплитуда функции тока возмущений – четная функция поперечной координаты) и второй – нечетный. Наиболее опасны возмущения четного типа.

Учет тепловых факторов [2] приводит к более сложной картине кризиса. Существенно меняются критические значения  $Gr$  и  $k$ . На нейтральных кривых образуются петли (физический смысл петель достаточно подробно изложен в [2, 3]).

Довольно интересной представляется проблема управления конвективной устойчивостью. В настоящее время имеется ряд работ, в которых рассматривается влияние различных факторов на устойчивость конвективных течений. Достаточно полная библиография указанных работ приведена в [3]. К числу таких факторов относится и комбинирование конвективного течения с гидродинамическим течением той или иной природы. В данной статье рассматривается влияние встречного движения границ слоя на устойчивость свободноконвективного течения, вызываемого внутренними источниками тепла. Так как вынужденное течение в этом случае является хорошо изученным течением Куэтта (абсолютно устойчивым относительно малых возмущений), то можно ожидать существенной стабилизации комбинированного течения.

Пусть вязкая несжимаемая жидкость находится в вертикальном слое толщиной  $2h$ . Границы слоя достаточно высокой теплопроводности поддерживаются при постоянной температуре, принимаемой за начало отсчета, и движутся в параллельных плоскостях с противоположно направленными и равными по величине скоростями:  $x = \pm h$ ,  $v = \mp U$  ( $x$  – координата поперек слоя). В жидкости однородно распределены источники тепла. Их интенсивность будем характеризовать мощностью тепловыделения в единице объема  $Q$ . Конвективное движение описывается уравнениями тепловой конвекции в приближении Буссинеска, которые запишем в безразмерном

виде [4]

$$\frac{\partial \mathbf{v}}{\partial t} + (\mathbf{v} \nabla) \mathbf{v} = -\nabla p + \Delta \mathbf{v} + T \boldsymbol{\gamma} \quad (1)$$

$$\frac{\partial T}{\partial t} + (\mathbf{v} \nabla) T = \frac{1}{\text{Pr}} \Delta T + \frac{\text{Gr}}{\text{Pr}}, \quad \text{div } \mathbf{v} = 0$$

Здесь все обозначения обычные;  $\boldsymbol{\gamma}$  – единичный вектор, направленный вертикально вверх. В качестве единиц измерения принято: расстояние –  $h$ ; время –  $h^2/\nu$ ; скорость –  $\nu/h$ ; температура –  $\nu^2/\beta g h^3$ ; давление –  $\rho(\nu/h)^2$ .

На границах слоя выполняются условия прилипания и условие изотермичности

$$x = \pm 1: \quad \mathbf{v} = \mp \text{Re } \boldsymbol{\gamma}, \quad T = 0 \quad (2)$$

Кроме того, необходимо условие замкнутости слоя – поток жидкости через поперечное сечение слоя должен отсутствовать:

$$\int_{-1}^1 v_z dx = 0 \quad (3)$$

Здесь  $z$  – координата вдоль слоя.

Система уравнений (1) и граничные условия (2) содержат три безразмерных параметра: число Грасгофа  $\text{Gr}$ , число Прандтля  $\text{Pr}$  и число Рейнольдса  $\text{Re}$

$$\text{Gr} = \frac{g \beta h^5 Q}{\rho C_p \nu^2 \chi}, \quad \text{Pr} = \frac{\nu}{\chi}, \quad \text{Re} = \frac{U h}{\nu}$$

Задача (1)–(3) допускает стационарное решение, описывающее плоскопараллельное течение в вертикальном направлении с профилями скорости и температуры

$$\mathbf{v}_0 = \frac{\text{Gr}}{120} (5x^4 - 6x^2 + 1) - \text{Re } x, \quad T_0 = \frac{\text{Gr}}{2} (1 - x^2) \quad (4)$$

Таким образом, стационарное течение жидкости является результатом суперпозиции свободноконвективного движения с четным профилем скорости и сдвигового плоского течения Куэтта. Для исследования устойчивости такого комбинированного течения введем возмущения скорости, температуры и давления  $\mathbf{v} = \mathbf{v}_0 + \mathbf{v}'$ ;  $T = T_0 + T'$ ,  $p = p_0 + p'$ . Подставляя возмущенные поля в систему уравнений (1) и граничные условия (2), получим в линейном по малым возмущениям порядке систему уравнений (для простоты штрихи у возмущений опускаем)

$$\frac{\partial \mathbf{v}}{\partial t} + (\mathbf{v} \nabla) \mathbf{v}_0 + (\mathbf{v}_0 \nabla) \mathbf{v} = -\nabla p + \Delta \mathbf{v} + T \boldsymbol{\gamma} \quad (5)$$

$$\frac{\partial T}{\partial t} + (\mathbf{v}_0 \nabla) T + (\mathbf{v} \nabla) T_0 = \frac{1}{\text{Pr}} \Delta T, \quad \text{div } \mathbf{v} = 0$$

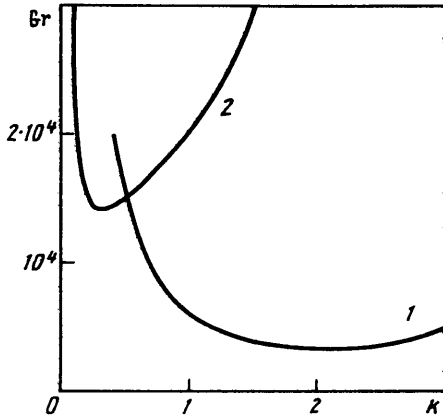
$$x = \pm 1: \quad \mathbf{v} = 0, \quad T = 0 \quad (6)$$

Можно показать, что в данном случае теорема Сквайра справедлива, и для линейной устойчивости комбинированного течения (4) наиболее опасными являются плоские возмущения. Тогда можно ввести функцию тока соотношениями

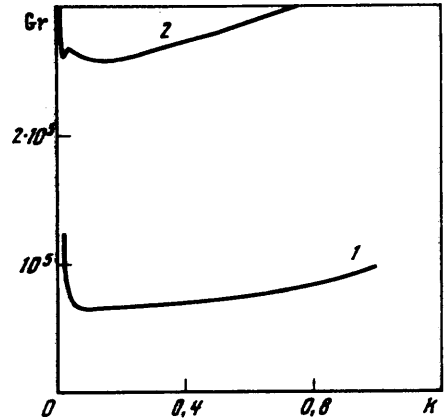
$$v_x = \frac{\partial \phi}{\partial z}, \quad v_z = -\frac{\partial \phi}{\partial x}$$

Будем искать решение в классе нормальных возмущений

$$\phi(x, z, t) = \phi(x) \exp\{-\lambda t + ikz\}, \quad T(x, z, t) = \theta(x) \exp\{-\lambda t + ikz\}$$



Фиг. 1. Нейтральные кривые  $Gr(k)$  четной моды,  $Pr = 0$ ;  $Re = 0, 1000$  (кривые 1, 2)



Фиг. 2. Нейтральные кривые  $Gr(k)$  четной моды,  $Pr = 0$ ;  $Re = 5000, 20000$  (кривые, 1, 2)

Здесь  $\varphi$  и  $\theta$  – амплитуды,  $k$  – вещественное волновое число, а  $\lambda = \lambda_r + i\lambda_i$  – комплексный декремент. Тогда задача об устойчивости комбинированного течения (5)–(6) примет вид

$$-\lambda \Delta \varphi + \nu_0 ik \Delta \varphi - \nu_0'' ik \varphi = \Delta \Delta \varphi - \theta' \quad (7)$$

$$-\lambda \theta + \nu_0 ik \theta + ik T_0' \varphi = \frac{1}{Pr} \Delta \theta, \quad \Delta = \frac{d^2}{dx^2} - k^2$$

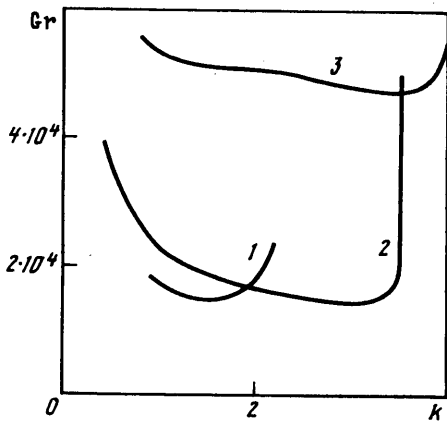
$$x = \pm 1: \varphi = \varphi' = \theta = 0 \quad (8)$$

Краевая задача (7)–(8) определяет декременты возмущений как функции параметров задачи. Если ограничиться рассмотрением нейтральных возмущений ( $\lambda_r = 0$ ), то в результате решения краевой задачи получим зависимость критического числа Грасгофа  $Gr_k = Gr_k(Pr, Re, k)$ .

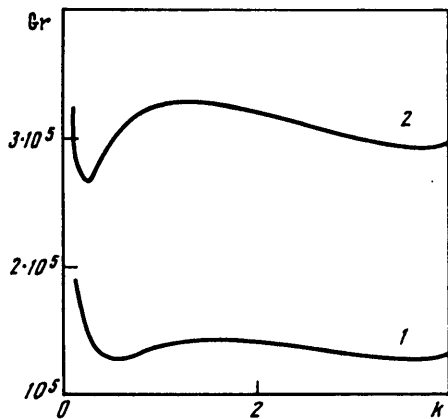
Существуют два важных предельных случая. При  $Gr = 0$  получаем задачу линейной устойчивости течения Куэтта. Известно, что плоское сдвиговое течение абсолютно устойчиво относительно малых возмущений. Противоположный предельный случай  $Re = 0$  соответствует конвективному течению жидкости с внутренними источниками тепла в вертикальном слое. Устойчивость этого течения исследовалась ранее (см., например, работы [1, 2]). В промежуточном случае можно ожидать, что встречное движение границ слоя приведет к стабилизации конвективного течения. Для численного решения задачи (7), (8) применялся метод дифференциальной прогонки [5].

Рассмотрим чисто гидродинамический случай  $Pr = 0$ . При этом краевая задача (7), (8) сводится к задаче Орра–Зоммерфельда с профилем скорости (4). На фиг. 1–4 представлены нейтральные кривые  $Gr(k)$  для различных значений числа Рейнольдса. При  $Re = 0$  имеем гидродинамический предел свободноконвективного течения в слое с внутренними источниками тепла. Изучены два нижних уровня неустойчивости – четный и нечетный. Четный уровень реализуется возмущениями в виде вихрей на границах встречных потоков с шахматной упаковкой. Вихри медленно дрейфуют вниз. Эти возмущения являются наиболее опасными, нейтральная кривая приведена на фиг. 1 (линия 1). Минимальное критическое число Грасгофа  $Gr_m = 3440$ , волновое число соответствующих критических возмущений  $k_m = 2,05$ .

С усилением вынужденного движения происходит деформация нейтральной кривой четной моды. Хотя в присутствии движения границ слоя возмущения теряют свойства четности, характерные для случая свободноконвективного течения, в статье сохра-



Фиг. 3. Нейтральные кривые  $Gr(k)$  нечетной моды,  $Pr = 0$ ,  $Re = 0, 100, 500$  (кривые 1, 2, 3)



Фиг. 4. Нейтральные кривые  $Gr(k)$  нечетной моды,  $Pr = 0$ ,  $Re = 1200, 2500$  (кривые 1, 2)

няются прежние названия, как указание на происхождение этих возмущений. Минимумы нейтральных кривых с ростом  $Re$  смещаются в область малых волновых чисел (фиг. 1, кривая 2 –  $Re = 1000$ ). При достаточно больших  $Re$  на нейтральной кривой появляется добавочный минимум, именно он соответствует в дальнейшем наиболее опасным возмущениям. Волновое число  $k_m$  при этом скачком увеличивается. На фиг. 2 показаны нейтральные кривые для  $Re = 5000; 20\,000$  (линии 1, 2). Заметно стабилизирующее действие движения границ слоя на тепловую конвекцию.

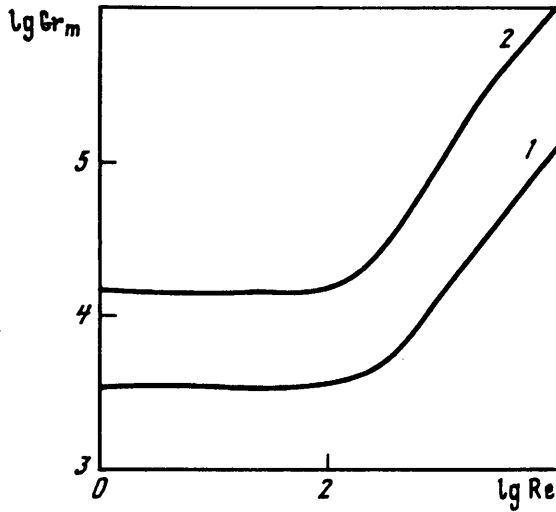
Нейтральные кривые нечетных возмущений для различных чисел Рейнольдса приведены на фиг. 3, 4. Движение границ эффективно подавляет и эту моду неустойчивости; с ростом  $Re$  резко увеличивается критическое число  $Gr_m$ . Деформация нейтральных кривых происходит по другому сценарию. Сначала минимум смещается в сторону больших волновых чисел – кривые 1, 2, 3 на фиг. 3 ( $Re = 0; 100; 500$ ). Затем (по мере увеличения  $Re$ ) в области малых волновых чисел появляется добавочный минимум (фиг. 4, линии 1, 2 –  $Re = 1200; 2500$ ), который впоследствии соответствует наиболее опасным из нечетных возмущений. Численные характеристики неустойчивости при  $Re = 0$  хорошо согласуются с результатами [2]; расхождение в значениях критического числа Грасгофа не превышает 1%, что может быть объяснено использованием в [2] метода Галеркина.

На фиг. 5 представлена сводная диаграмма устойчивости комбинированного конвективного течения относительно четных (кривая 1) и нечетных (кривая 2) возмущений на плоскости  $Gr_m - Re$  в гидродинамическом приближении ( $Pr = 0$ ). Области неустойчивости расположены выше соответствующих нейтральных линий. Движение границ сначала оказывает относительно слабое стабилизирующее действие, минимальное критическое число Грасгофа увеличивается незначительно. С дальнейшим ростом числа Рейнольдса наступает резкое повышение устойчивости. При достаточно больших интенсивностях вынужденного течения  $Gr_m$  выходит на асимптотические зависимости соответственно для четной и нечетной моды

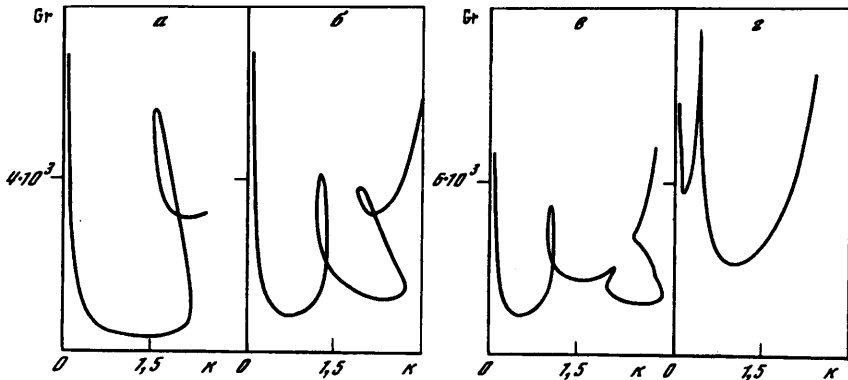
$$Gr_m = 12,85Re + 1033, \quad Gr_m = 106,8Re - 604,6$$

Как видно, нечетные возмущения и в присутствии вынужденного течения являются менее опасными, чем четные.

При учете тепловых факторов следует ожидать, что более богатый спектр возмущений приведет к усложнению картины кризиса течения. Так, в случае чисто конвективного течения ( $Re = 0$ ) с увеличением числа Прандтля происходит деформа-



Фиг. 5. Карта устойчивости течения  $Pr = 0$  (кривые 1, 2 – четные и нечетные возмущения)



Фиг. 6. Нейтральные кривые,  $Pr = 10$

ция правой ветви нейтральной кривой  $Gr(k)$  и при  $Pr > 5,7$  (см., например, [2]) на нейтральной кривой образуется петля, обусловленная полным слиянием двух четных уровней спектра (совпадают вещественная и мнимая части декрементов). Эта петля разбивает нейтральную кривую на две части – тепловую (в области более длинных волн) и гидродинамическую, близкую к соответствующей кривой при  $Pr = 0$ .

На фиг. 6, а показана нейтральная кривая, соответствующая  $Pr = 10$ ,  $Re = 0$ . Отметим очень хорошее согласие с результатами [2]. При данном числе Прандтля кризис течения определяется развитием возмущений типа бегущих тепловых волн. Подчеркнем, что при смещении вдоль нейтральной кривой механизм неустойчивости меняется плавно и деление возмущений на вихри на границах потоков и температурные волны достаточно условно.

С ростом числа Рейнольдса нейтральная кривая критических возмущений претерпевает значительные изменения. На фиг. 6, б, в, г изображены нейтральные кривые при  $Pr = 10$  и  $Re = 10, 20, 100$ . Сначала (фиг. 6, б) на участке нейтральной кривой, соответствующем тепловым волнам, появляется еще одна петля с образованием добавочного минимума (физический смысл этой петли тот же, что и для случая чисто

конвективного течения). Затем эта петля поднимается в область больших чисел Грасгофа, а петля в области больших  $k$  (гидродинамические возмущения) размыкается (фиг. 6, в).

При дальнейшем увеличении интенсивности вынужденного течения упрощается вид нейтральной кривой. При этом фрагмент кривой  $Gr(k)$ , отвечающий гидродинамическим возмущениям, приближается к аналогичной нейтральной кривой для случая  $Pr = 0$ , а область существования нарастающих тепловых возмущений исчезает с уменьшением интервала допустимых волновых чисел и поднимается вверх. Минимум нейтральной кривой скачком переходит на ее гидродинамическую часть (фиг. 6, г).

В дальнейшем с ростом  $Re$  влияние тепловых факторов становится незаметным – нейтральные кривые при фиксированном числе Рейнольдса не меняются с изменением числа Прандтля, что говорит о гидродинамической природе кризиса течения при больших числах Рейнольдса.

При исследовании устойчивости относительно нечетных возмущений обнаружена их очень слабая зависимость от числа Прандтля и соответствующие результаты численных исследований здесь не приводятся.

**Заключение.** Движение границ приводит к существенной стабилизации конвективного течения. Ранее исследовалась устойчивость некоторых комбинированных течений [3], но присутствие вынужденного движения приводило только к стабилизации течения в целом. При изменении числа Прандтля и в присутствии вынужденного течения смена механизмов неустойчивости происходила обычным порядком. В рассматриваемом случае, в присутствии вынужденного течения достаточно высокой интенсивности, механизм неустойчивости остается гидродинамическим по своей природе.

#### СПИСОК ЛИТЕРАТУРЫ

1. Гершуни Г.З., Жуховицкий Е.М., Якимов А.А. Об устойчивости стационарного конвективного движения, вызванного внутренними источниками тепла // ПММ. 1970. Т. 34. Вып. 4. С. 700–705.
2. Гершуни Г.З., Жуховицкий Е.М., Якимов А.А. О двух типах неустойчивости стационарного конвективного движения, вызванного внутренними источниками тепла // ПММ. 1973. Т. 37. Вып. 3. С. 564–568.
3. Гершуни Г.З., Жуховицкий Е.М., Непомнящий А.А. Устойчивость конвективных течений. М.: Наука, 1989. 319 с.
4. Гершуни Г.З., Жуховицкий Е.М. Конвективная устойчивость несжимаемой жидкости. М.: Наука, 1972. 392 с.
5. Гольдштик М.А., Штерн В.Н. Гидродинамическая устойчивость и турбулентность. Новосибирск: Наука, 1977. 366 с.

Пермь

Поступила в редакцию  
15.11.1996